УДК 669.14.018.8: 621.45.038.72

# ФАЗОВЫЙ СОСТАВ И СТРУКТУРА МНОГОСЛОЙНЫХ НАНОРАЗМЕРНЫХ МЕТАЛЛ-УГЛЕРОДНЫХ ПОКРЫТИЙ

Д.Г. Пилипцов<sup>1</sup>, А.А. Рогачев<sup>1</sup>, С.А. Чижик<sup>2</sup>, А.С. Руденков<sup>1</sup>, Е.А. Кулеш<sup>1</sup>, Н.Н. Федосенко<sup>1</sup>

 $^{1}$ Гомельский государственный университет им. Ф. Скорины  $^{2}$ Институт тепло- и массообмена им. А.В. Лыкова НАН Беларуси, Минск

## PHASE COMPOSITION AND STRUCTURE OF MULTILAYER NANOSIZED METAL-CARBON COATINGS

D.G. Piliptsov<sup>1</sup>, A.A. Rogachev<sup>1</sup>, S.A. Chizik<sup>2</sup>, A.S. Rudenkov<sup>1</sup>, E.A. Kulesh<sup>1</sup>, N.N. Fedosenko<sup>1</sup>

<sup>1</sup>F. Scorina Gomel State University <sup>2</sup>A.V. Lykov Heat and Mass Transfer Institute of the NAS of Belarus, Minsk

Методами КР спектроскопии и атомно-силовой микроскопии определено влияние подслоев различной природы на фазовый состав и морфологию однокомпонентных и композиционных углеродных покрытий. Показано, что при осаждении легированного титаном углеродного покрытия на подслое титана образуются более дисперсные Csp<sup>2</sup> кластеры. При этом легированные углеродные покрытия характеризуются меньшими шероховатостью и размером зерна.

Ключевые слова: углеродные покрытия, легирование, титан, кластер, фазовый состав, морфология.

The influence of sublayers of various nature on the phase composition and morphology of one-component and composite carbon coatings is determined by the methods of Raman spectroscopy and atomic force microscopy. It is shown that when depositing titanium-doped carbon coating on a titanium sublayer, more dispersed Csp<sup>2</sup> clusters are formed. At the same time, doped carbon coatings are characterized by lower roughness and grain size.

Keywords: carbon coatings, alloying, titanium, cluster, phase composition, morphology.

#### Введение

Основными недостатками углеродных покрытий (УП) являются низкая термостойкость и высокий уровень внутренних механических напряжений [1]-[3]. На практике используются два основных технологических приема снижения степени их проявления: легирование покрытий металлами, азотом и формирование многослойных систем металл-углерод [1], [4]. При формировании таких покрытий значительное влияние на их свойства оказывают структура и химический состав межфазных слоев, природа возникающих химических связей. Введение в состав покрытия металла или азота осуществляется, как правило, одновременно с осаждением на поверхности атомов углерода, при этом легирующие элементы оказывают каталитическое или ингибирующее воздействие на образование углеродных кластеров, их размер и соотношение фаз с  $sp^2$  и  $sp^3$  конфигурацией углерода [5]. Степень влияния металлического наполнителя на фазовое состояние углеродного слоя и его каталитическая активность в значительной степени зависят не только от природы, но и от дисперсности, особенно, если используются наноразмерные кластеры. В свою очередь, многослойные покрытия, состоящие из чередующихся слоёв двух типов (мягких и жёстких слоёв) представляют большой интерес из-за наличия многочисленных интерфаз, которые влияют на фазовые свойства покрытий [6], [7]. При этом каталитическая активность слоев металла значительно возрастает при уменьшении их толщины до нескольких нанометров [7]. По этой причине изучение данных процессов, установление закономерностей межфазного взаимодействия, структуры граничных слоев, образующихся при формировании легированных углеродных слоев и многослойных систем на их основе, представляет особый интерес при определении наиболее эффективных технологических приёмов улучшения свойств таких материалов.

Основной целью настоящей работы является определение влияния наноразмерных слоев титана и его нитрида на фазовый состав и структуру однокомпонентных и композиционных покрытий на основе аморфного углерода.

#### 1 Методика эксперимента

Многослойные металл-углеродные покрытия осаждали на модернизированной установке вакуумного напыления УВНИПА-1-001. Для осаждения промежуточного слоя металла и его нитрида использовался титан марки ВТ-100. Испарение Ті осуществляли с помощью электродугового разряда с магнитной сепарацией плазменного

потока. При этом на стол с образцами подавали отрицательный потенциал смещения, равный 150÷200 В. Ток электродугового испарения металла составлял 70 А. При осаждении слоев нитрида титана и при легировании азотом углеродных слоев в камере создавалось давление газа 0,1 Па. Толщина подслоев составляла 50±10 нм.

Графитовая мишень химической чистоты 99,5% была использована в качестве одного из электродов импульсного катодно-дугового испарителя. Углеродные покрытия толщиной  $250\pm10$  нм наносились при следующих режимах: напряжение разряда  $250\div300$  В, энергия частиц углеродной плазмы  $\sim 100$  эВ. Частоту и число импульсов выбирали в диапазоне  $3\div20$   $\Gamma$ ц и  $370\div3000$  соответственно в зависимости от конструкции покрытия. Данные режимы выбирались согласно полученным ранее рекомендациям [8].

С использованием данной методики осаждали покрытия типа  $(\text{Ti}\,/\,\text{a-C})_n$ ,  $(\text{TiN}\,/\,\text{a-C})_n$ ,  $(\text{Ti}\,/\,\text{TiN}\,/\,\text{a-C})_n$ . В качестве подложек использовали кристаллическую пластину из n-Si, вырезанную параллельно кристаллографической плоскости (111). В целях удаления оксидного слоя с поверхности подложки проводили её травление ионами аргона в течение 15 минут. Энергия ионов  $\text{Ar}^+$  и плотность ионного тока были равны 4 кэВ и  $\sim 25 \text{ A/m}^2$  соответственно.

Морфологию поверхности покрытий изучали методом атомно-силовой микроскопии (ACM) в режимах измерения топографии и фазового контраста (площадь сканирования  $20\times20$  мкм) с использованием Solver-PRO P47 (NT-MDT) по методике, описанной в руководстве по эксплуатации. Для анализа полученных результатов использовали программу Gwyddion, позволяющую рассчитать параметры шероховатости  $R_a$  поверхности покрытий и определить размер зерна.

Спектры комбинационного рассеивания регистрировались с помощью KP- микроскопа Senterra (Bruker). Регистрация спектров проводилась в спектральном диапазоне 600÷2500 см<sup>-1</sup>. Спектры возбуждали излучением длиной волны 532 нм и мошностью 20 мВт.

### 2 Результаты и их обсуждение

Методом КР спектроскопии установлено, что фазовый состав осажденных покрытий зависит от природы подслоя и химического состава углеродного покрытия. Для всех спектров характерно наличие широкого ассиметричного пика в области 1000÷2000 см<sup>-1</sup> (рисунок 2.1). Полученные спектры с высокой точностью можно описать двумя пиками D и G с центрами вблизи 1370 см<sup>-1</sup> и 1580 см<sup>-1</sup> соответственно, изменяющимися в зависимости от отношения количества атомов углерода с sp<sup>2</sup> и sp<sup>3</sup> гибридизацией связей атомов углерода.

Форма спектра зависит как от наличия подслоев титана, нитрида титана, так и от природы

легирующих элементов углеродного покрытия. Для покрытий, содержащих внешний композиционный углеродный слой a-C:Ti или a-C:Ti:N, характерно наличие пика D с интенсивностью более высокой, чем интенсивность пика G.

Результаты математической обработки полученных спектров с использованием функций Гаусса приведены в таблице 2.1. В качестве анализируемых параметров использовали отношение интегральных интенсивностей D и G пиков, положение и ширину G пика.

Из таблицы 2.1 видно, что отношение  $I_D/I_G$ , координата и ширина G пика для покрытий с внешним a-C слоем изменяется незначительно. Химический состав подслоев легированных титаном или титаном и азотом, не влияет на процессы структурообразования углеродного слоя. Это возможно, если толщина диффузионного слоя (в котором наиболее выражены изменения микроструктуры покрытий, приводящие к искажению связей в слоях углеродной матрицы) намного меньше, чем толщина углеродного слоя.

Координата G пика в KP спектрах Ті/а-С:Ті:N покрытий находится в области меньших волновых чисел по сравнению с Ті/а-С:Ті:N/а-С покрытиями, что указывает на уменьшение концентрации связей типа Csp²-Csp³ или Csp³-Csp³ в покрытии.

Увеличение интенсивности D пика, а, следовательно, и рост отношения  $I_D/I_G$  является признаком увеличения содержания  ${\rm sp}^2$ -фазы и объединения атомов с  ${\rm sp}^2$ -связями в более дисперсные графитовые кластеры [9]. Таким образом, увеличение отношения  $I_D/I_G$  при введении в структуру покрытия атомов титана или азота приводит к увеличению графитоподобной компоненты с последующим объединением в  ${\rm Csp}^2$  кластеры. Смещение G пика в область высоких волновых чисел указывает на рост  ${\rm Csp}^2$  кластеров.

Больший интерес представляют результаты анализа данных КР спектроскопии покрытий с внешним а-С:Ті слоем. Покрытия, нанесенные на подслой Ті, характеризуются более высоким отношением  $I_D/I_G$  (3,96), чем покрытия, осажденные на подслой ТіN (2,28). Уменьшение размера  $Csp^2$  кластеров при осаждении на подслой титана можно связать с его более высокой в сравнении с нитридом титана химической активностью, снижением на такой поверхности подвижности адсорбированных атомов углерода и участием их в процессах образования карбида титана.

Повышение размера Csp<sup>2</sup> кластеров при осаждении покрытия на подслой TiN подтверждается данными атомно-силовой микроскопии (таблица 2.1). Как видно, на поверхности внешнего слоя присутствуют отдельные графитовые включения, образующиеся при распыления графитовой мишени импульсным электрическим разрядом.

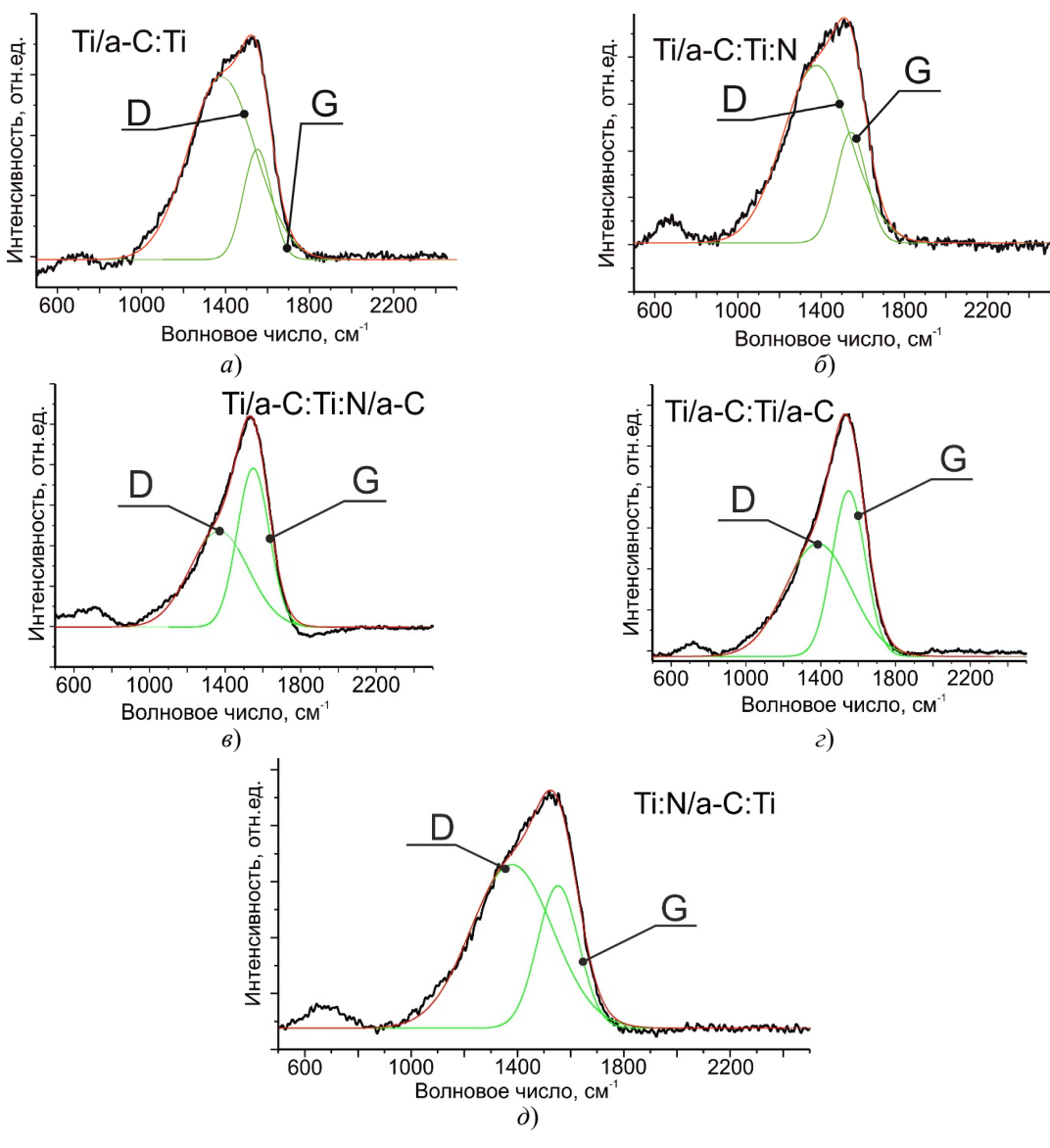


Рисунок 2.1 — КР спектры многослойных покрытий: a) Ti/ a-C:Ti;  $\delta$ ) Ti/ a-C:Ti:N;  $\epsilon$ ) Ti/a-C:Ti:N/a-C;  $\epsilon$ ) KР спектр Ti/a-C:Ti/a-C;  $\delta$ ) Ti:N /a-C:Ti

Таблица 2.1 – Параметры КР спектров и морфологии покрытий

Образец	$I_D/I_G$	Положение G	Ширина G пика,	Ra, нм	Диаметра зерна d,
		пика, см <sup>-1</sup>	CM <sup>-1</sup>		HM
Ti/a-C:Ti	3,96	1551,2	133,2	4,9	6,8
Ti/a-C:Ti/a-C	1,26	1549,0	175,8	6,9	7,7
Ti/a-C:Ti:N	3,54	1544,5	145,6	4,4	9,5
TiN/a-C:Ti	2,28	1559,4	155,3	3,9	6,9
Ti/a-C:Ti:N/a-C	1,11	1548,4	179,7	4,1	7,6

Анализ полученных изображений показывает, что наличие подслоя TiN приводит к снижению шероховатости покрытия до значений Ra = 3,9 нм (таблица 2.1). Снижение шероховатости покрытий, содержащих в своем составе нитридные фазы TiN или CN, обусловлено особенностями осаждения и роста таких покрытий. В

таких слоях процессы диффузии затруднены и интенсивное образование шероховатости за счет интенсивного структурообразования не происходит. Как показано в работе [10], возникновение аморфной структуры с высокой степенью разориентации (подтверждается данными спектроскопии комбинационного рассеивания) может

определяться дипольным моментом систем Ti-N или Ti-C.

Для многослойных покрытий, содержащих верхний нелегированный слой аморфного углерода, характерно увеличение размера зерна до 7,7 нм. Для покрытий, легированных азотом и титаном, характерно наличие зерен большего размета (9,5 нм), которые по данным КР спектроскопии представляют агломерацию частиц с преобладанием графитовой компоненты.

#### Выводы

Определено о влияние подслоев титана и нитрида титана на фазовый состав и морфологию однокомпонентных и композиционных покрытий на основе аморфного углерода. Показано, что при осаждении а-C:Ті покрытия на подслой титана в сравнении с подслоем нитрида титана происходит формирование углеродного покрытия с меньшим размером Csp<sup>2</sup> кластеров. При этом легированные углеродные покрытия характеризуются меньшими шероховатостью и размером зерна.

#### ЛИТЕРАТУРА

- 1. *Рогачев*, *А.В.* Триботехнические свойства композиционных покрытий, осаждаемых вакуумно-плазменными методами / А.В. Рогачев // Трение и износ. -2008. T. 29, № 3. C. 285–292.
- 2. *Erdemir*, *A.* Superlubricity / A. Erdemir, J.R. Martin. Amsterdam: Elsevier Science, 2007. 512 p.
- 3. Donnet, C. Tribology of Diamond-like Carbon Films: Fundamentals and Applications / C. Donnet, A. Erdemir. Springer Science & Business Media, 2007. 680 p.
- 4. Механические, свойства и структура композиционных углеродных покрытий / А.В. Рогачев, А.Н. Попов, В.П. Казаченко, С.С. Сидорский // Материалы, технологии, инструмент. 2001.-T.5, № 2.-C.77–80.

- 5. A perspective on the optimisation of hard carbon and related coatings for engineering applications / S. Neuville [et al.] // Thin Solid Films. 2007. Vol. 515. P. 6619–6653.
- 6. Review of multicomponent and multilayer coatings for tribological applications / C. Subramanian [et al.] // Wear. -1993. Vol. 165. P. 85-98.
- 7. Размерные эффекты в бислойных покрытиях титан углерод. 1. Влияние толщины подслоя титана на структуру и свойства углеродного слоя / Б. Чжоу, А.В. Рогачев, С. Цзян, Д.Г. Пилипцов, Н.Н. Федосенко, А.С. Руденков // Проблемы физики, математики и техники. 2013.- N olimin 4 (17).- C. 38-43.
- 8. Влияние природы и концентрации легирующих элементов на морфологию зоны трения углеродных покрытий / А.В. Рогачев [и др.] // Известия Гомельского государственного университета им. Ф. Скорины. 2009. № 5 (56). С. 100–103.
- 9. *Casiraghi*, *C.* Raman spectroscopy of hydrogenated amorphous carbons / C. Casiraghi, A.C. Ferrari, J. Robertson // Physical Review B. 2005. Vol. 72. P. 85401–085414.
- 10. Тюменцев, А.Н. Высокодефектные структурные состояния, поля локальных внутренних напряжений и кооперативные механизмы мезоуровня деформации и переориентации кристалла в наноструктурных металлических материалах / А.Н. Тюменцев, А.Д. Коротаев, Ю.П. Пинжин // Физическая мезомеханика. 2004. Т. 7, вып. 4. С. 35—53.

Работа выполнена при финансовой поддержке Белорусского республиканского фонда фундаментальных исследований в рамках договора № Т17КИГ-009 «Разработка технологических приемов управления структурой и механическими свойствами нанокомпозиционных многослойных покрытий для узлов трения на основе аморфного углерода».

Поступила в редакцию 27.03.18.